

# Generalização da Modelagem Fracionária

Lucas Kenjy Bazaglia Kuroda<sup>1</sup>

UNESP - Universidade Estadual Paulista, Instituto de Biociências, Botucatu, SP

Rubens de Figueiredo Camargo<sup>2</sup>

UNESP - Universidade Estadual Paulista, Faculdade de Ciência, Bauru, SP

**Resumo.** Este trabalho apresenta a generalização da modelagem fracionária segundo Caputo quando inserido o parâmetro de correção dimensional ( $\tau$ ) no modelo. Nota-se que alguns trabalhos já utilizam da nova modelagem fracionária em que o valor deste parâmetro esteja implícito. É possível assim, descrever, utilizando diferentes modelagens, curvas de soluções que estejam em maior conformidade ao dados reais.

**Palavras-chave.** Generalização da Modelagem Fracionária, Correção Dimensional, HPV 16, Câncer, Modelo de Gompertz.

## 1 Introdução

Na literatura, há várias definições para as derivadas fracionárias, como por exemplo, as representações de Riemann-Liouville, Riesz, Weyl, Grünwald-Letnikov, Caputo, dentre outras [6]. Uma análise minuciosa dos sistemas dinâmicos fracionários é necessária para alcançar uma definição apropriada da derivada fracionária. Por exemplo, a definição de Riemann-Liouville envolve condições iniciais fisicamente inaceitáveis (condições iniciais de ordem fracionária) [2]; ao contrário da representação de Caputo, as condições iniciais são expressas em termos de derivadas de ordem inteira com significado físico [3]. Esta definição é usada, principalmente, para incluir efeitos de memória [6]. Diante de tantos cuidados referentes a utilização do cálculo fracionário, neste trabalho será realizado a modelagem fracionária em modelos cujas soluções foram exibidas sem considerar a correta dimensão da equação quando há a troca da ordem da derivada inteira pela não inteira, baseado em [7].

## 2 Generalização da Modelagem Fracionária

A modelagem fracionária realizada em diversos trabalhos consiste em substituir a ordem da derivada inteira pela derivada fracionária, sem considerar a questão dimensional dos modelos, como por exemplo, os trabalhos de [1, 4, 9, 11, 15, 18]. Apesar da imprecisão dimensional, os trabalhos mencionados são válidos e trazem significativas contribuições. No entanto, pode-se notar que o operador diferencial,  $\frac{d}{dt}$  tem dimensão<sup>3</sup>  $t^{-1}$  e quando realizada a modelagem fracionária  $\frac{d}{dt} \rightarrow \frac{d^\beta}{dt^\beta}$

---

<sup>1</sup>lucaskuroda@hotmail.com

<sup>2</sup>rubens.camargo@unesp.br

<sup>3</sup> $t$  simboliza o tempo referente a unidade de medida utilizada em modelos, podendo ser segundos, dias, horas, dentre outros.

sua dimensão passa a ser  $\left[\frac{d^\beta}{dt^\beta}\right] = t^{-\beta}$ , o que pode tornar imprecisa a descrição do modelo, caso as constantes envolvidas já tenham sua unidade de medida fixa.

Assim, [5] propõem um procedimento alternativo simples para a construção da equação diferencial fracionária, introduzindo um novo parâmetro  $\tau$  com  $0 < \beta \leq 1$  da seguinte maneira,

$$\frac{d}{dt} \rightarrow \frac{1}{\tau^{1-\beta}} \frac{d^\beta}{dt^\beta}. \quad (1)$$

Desta forma, a equação (1) é dimensionalmente consistente, se e somente se, o novo parâmetro  $\tau$ , tem dimensão de tempo  $[\tau] = t$ . Assim,  $\left[\frac{1}{\tau^{1-\beta}} \frac{d^\beta}{dt^\beta}\right]$  passa a ser uma derivada no tempo no sentido usual, cuja dimensão é  $t^{-1}$ .

### 2.0.1 Modelos Malthusiano

A forma mais simples de representar o processo de dinâmica populacional é pelo modelo proposto por Thomas Robert Malthus [16],

$$\frac{dN(t)}{dt} = rN(t), \quad (2)$$

com  $r > 0$ .

A solução do modelo (2), é obtida via separação de variáveis, dada por

$$N(t) = e^{rt} N(0). \quad (3)$$

A partir do modelo de crescimento tumoral de Malthus na equação (2), iremos utilizar a derivada fracionária segundo Caputo nesta equação, sendo  $0 < \beta \leq 1$  a ordem da derivada (consequentemente  $n = 1$ ) e  $\tau$  o parâmetro de correção referente a dimensão da equação. Assim,

$$\frac{1}{\tau^{1-\beta}} \frac{d^\beta N(t)}{dt^\beta} = \frac{1}{\tau^{1-\beta}} [{}_C D^\beta N(t)] = rN(t). \quad (4)$$

Sendo  $F(s)$  a transformada de Laplace de  $N(t)$ , temos

$$\begin{aligned} \mathcal{L} \left[ \frac{1}{\tau^{1-\beta}} [{}_C D^\beta N(t)] \right] &= \mathcal{L} [rN(t)] \\ \frac{1}{\tau^{1-\beta}} [s^\beta F(s) - s^{\beta-1} N(0)] &= rF(s) \\ F(s) &= N(0) \frac{s^{\beta-1}}{s^\beta - r\tau^{1-\beta}}. \end{aligned}$$

Utilizando a transformada de Laplace inversa, temos

$$\begin{aligned} N(t) &= \mathcal{L}^{-1} \left[ N(0) \frac{s^{\beta-1}}{s^\beta - r\tau^{1-\beta}} \right] \\ &= N(0) E_\beta(r\tau^{1-\beta} t^\beta). \end{aligned}$$

Note que a solução analítica do modelo de Malthus (2) depende de dois parâmetros,  $\beta$  e  $\tau$ . Assim [5, 6], propõem a seguinte substituição  $\tau = \frac{\beta}{r}$ , com o intuito da solução analítica do modelo apresentar apenas um parâmetro, a ordem da derivada fracionária ( $\beta$ ). Como  $0 < \beta \leq 1$ , temos que  $0 < \tau \leq \frac{1}{r}$ . Daí,

$$N(t) = N(0)E_{\beta}(\beta^{1-\beta}(rt)^{\beta}).$$

Assim, uma solução fracionária alternativa, com dimensão corrigida do modelo de Malthus (4) dependendo apenas do valor da derivada  $\beta$  é

$$N(t) = N(0)E_{\beta}(\beta^{1-\beta}(rt)^{\beta}). \tag{5}$$

Quando  $\beta = 1$ , recuperamos a solução de ordem inteira do modelo, ou seja,

$$N(t) = N(0)E_{\beta}(\beta^{1-\beta}(rt)^{\beta}) = N(0)e^{rt}.$$

Note pela Figura 1, quanto menor a ordem de derivada, menor será o crescimento e que nas proximidades do instante inicial, todas as curvas de  $\beta < 1$  tem crescimento mais elevado.

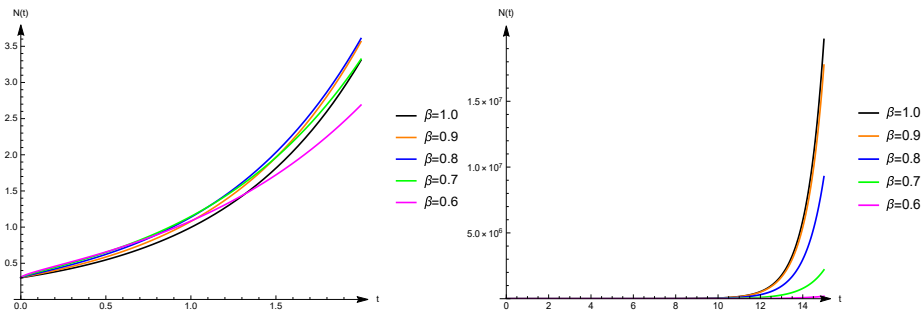


Figura 1: Solução da equação fracionária de Malthus (5) para  $0 \leq t \leq 2$  e  $0 \leq t \leq 15$ , respectivamente.

Podemos escrever a equação de Malthus (4) de tal maneira que o parâmetro de correção dimensional esteja incluído implicitamente nas constantes do modelo, ou seja,

$$\frac{1}{\tau^{1-\beta}} [{}_C D^{\beta} N(t)] = rN(t) \Leftrightarrow {}_C D^{\beta} N(t) = \beta^{1-\beta} r^{\beta} N(t). \tag{6}$$

Vejamos,

$$\mathcal{L} [{}_C D^{\beta} N(t)] = \mathcal{L} [\beta^{1-\beta} r^{\beta} N(t)]$$

$$s^{\beta} F(s) - s^{\beta-1} N(0) = \beta^{1-\beta} r^{\beta} F(s)$$

$$F(s) = \frac{s^{\beta-1} N(0)}{s^{\beta} - \beta^{1-\beta} r^{\beta}}$$

$$\mathcal{L}^{-1}[F(s)] = N(0) \mathcal{L}^{-1} \left[ \frac{s^{\beta-1}}{s^{\beta} - \beta^{1-\beta} r^{\beta}} \right]$$

$$N(t) = N(0)E_{\beta}(\beta^{1-\beta}(rt)^{\beta}).$$

### 2.0.2 A Escolha do Parâmetro “ $\tau$ ”

Na seção anterior na modelagem fracionária de Caputo, foi sugerido um valor de  $\tau$ , em função de  $\beta$ , a partir do momento em que encontramos a solução da equação via transformada de Laplace. Note que em alguns casos, o desafio passa ser em encontrar o valor do parâmetro  $\tau$ . No entanto, esse novo parâmetro na modelagem fracionária nos abre novos horizontes sobre diferentes modelagens sem erros de dimensão se tratando do mesmo modelo. Por exemplo, referente ao modelo malthusiano (4),

$$\frac{1}{\tau^{1-\beta}} [{}_C D^\beta N(t)] = rN(t), \tag{7}$$

quando tomado  $0 < \tau \leq \frac{1}{r}$  podemos reescrever o modelo da seguinte maneira, como já foi visto:

$${}_C D^\beta N(t) = \beta^{1-\beta} r^\beta N(t).$$

Note que a nova modelagem vai depender apenas do parâmetro  $\beta$  uma vez que tomamos  $\beta = r\tau$ .

Agora, seja  $\tau = \frac{1}{r}$  (como a dimensão de  $[\tau] = t$ , assume-se que  $\tau = \frac{1}{r}$ , uma vez que  $[r]$  tem dimensão  $t^{-1}$ ) no modelo (7), podemos reescrever esta equação da seguinte maneira,

$$\begin{aligned} \frac{1}{\tau^{1-\beta}} [{}_C D^\beta N(t)] &= rN(t) \\ {}_C D^\beta N(t) &= \tau^{1-\beta} rN(t) \\ {}_C D^\beta N(t) &= \left(\frac{1}{r}\right)^{1-\beta} rN(t) \\ {}_C D^\beta N(t) &= r^\beta N(t). \end{aligned}$$

A Tabela 1 contém os modelos de Malthus (M), oscilador harmônico (OH), logístico (L), Gompertz (G) e o modelo de von Bertalanffy (V) juntamente com algumas sugestões para o valor de  $\tau$  em cada equação e sua respectiva modelagem para o valor do parâmetro escolhido ( $\tau$ ). Encontra-se também alguns trabalhos em que o valor do parâmetro foi utilizado, mesmo que implicitamente<sup>4</sup>.

Nota-se que, na nova modelagem fracionária apesar de surgir mais um parâmetro no modelo ( $\tau$ ), podemos descrever diversas soluções e aproximar essas curvas aos dados reais, como será visto a seguir. Para modelos mais complexos se faz necessário a utilização de métodos computacionais para encontrar a solução fracionária, como por exemplo, o método de Grünwald-Letnikov [14] utilizado neste trabalho.

### 2.0.3 Aplicação - Modelo referente ao HPV 16

O modelo matemático (8) é referente à infecção por papilomavírus humano (HPV 16) administrados em camundongos [10]. Utilizaremos três tipos de modelagem fracionária de Caputo e exibiremos a melhor aproximação aos dados reais.

$$\frac{dT(t)}{dt} = \frac{1}{\mu_g} \ln \left[ \frac{\ln(\theta_g/T_0)}{\ln(\theta_g/2T_0)} \right] T(t) \ln \left( \frac{\theta_g}{T(t)} \right), \tag{8}$$

sendo  $T(t)$  o volume do tumor ( $\text{mm}^3$ ) no tempo  $t$ ,  $\theta_g$  o tamanho máximo tumoral ( $\text{mm}^3$ ),  $\mu_g$  o tempo de duplicação do tumor (dias) e  $T_0$  o tamanho inicial do tumor.

<sup>4</sup>Modelagem utilizada sem citar o valor do parâmetro  $\tau$ .

Tabela 1: Modelagem para diferentes valores de  $\tau$ .

Modelo	Equação	$\tau$	Modelagem	Referência
M	$\frac{1}{\tau^{1-\beta}} [{}_C D^\beta N(t)] = rN(t)$	$\tau = \frac{1}{r}$	${}_C D^\beta N(t) = r^\beta N(t)$	[8, 19]
OH	$\frac{1}{\tau^{2-\beta}} [{}_C D^\beta x(t)] = -\omega^2 x(t)$	$\tau = \frac{\beta}{\omega}$	${}_C D^{2\beta} x(t) = -\beta^{2(1-\beta)} \omega^{2\beta} x(t)$	[5]
OH	$\frac{1}{\tau^{2-\beta}} [{}_C D^\beta x(t)] = -\omega^2 x(t)$	$\tau = \frac{1}{\omega}$	${}_C D^\beta x(t) = -\omega^\beta x(t)$	[13]
L	$\frac{1}{\tau^{1-\beta}} [{}_C D^\beta N(t)] = rN(t)[1 - N(t)]$	$\tau = \frac{1}{r}$	${}_C D^\beta N(t) = r^\beta N(t)[1 - N(t)]$	[12]
G	$\frac{1}{\tau^{1-\beta}} [{}_C D^\beta N(t)] = rN(t) \ln\left(\frac{k}{N(t)}\right)$	$\tau = \frac{1}{r}$	${}_C D^\beta N(t) = r^\beta N(t) \ln\left(\frac{k}{N(t)}\right)$	-
V	$\frac{1}{\tau^{1-\beta}} [{}_C D^\beta V(t)] = aV(t)^{\frac{2}{3}} - bV(t)$	$\tau = \frac{3\beta}{b}$	-	[17]

### Modelagem Fracionária 1 (MF1)

Nesta modelagem,  $\tau$  e  $\beta$  surgem como dois novos parâmetros do modelo:

$$\frac{1}{\tau^{1-\beta}} \frac{d^\beta T(t)}{dt^\beta} = \frac{1}{\mu_g} \ln \left[ \frac{\ln(\theta_g/T_0)}{\ln(\theta_g/2T_0)} \right] T(t) \ln \left( \frac{\theta_g}{T(t)} \right). \tag{9}$$

### Modelagem Fracionária 2 (MF2)

Assumiremos que  $\tau = \frac{1}{r}$ , sendo  $r = \frac{1}{\mu_g} \ln \left[ \frac{\ln(\theta_g/T_0)}{\ln(\theta_g/2T_0)} \right]$ . Assim, a MF2 será, como visto na Tabela 1,

$$\frac{d^\beta T(t)}{dt^\beta} = r^\beta T(t) \ln \left( \frac{\theta_g}{T(t)} \right). \tag{10}$$

### Modelagem Fracionária 3 (MF3)

Como visto na Tabela 1 assumindo  $\tau = \frac{\beta}{r}$ , a MF3 tem a forma,

$$\frac{d^\beta T(t)}{dt^\beta} = \beta^{1-\beta} r^\beta T(t) \ln \left( \frac{\theta_g}{T(t)} \right), \tag{11}$$

sendo  $r = \frac{1}{\mu_g} \ln \left[ \frac{\ln(\theta_g/T_0)}{\ln(\theta_g/2T_0)} \right]$ .

Na Figura 2 está a simulação da modelagem fracionária 1 e 3. Os parâmetros utilizados foram a partir da estimuação dos parâmetros do HPV 16 de [10]. Assumi-se para o primeiro tumor  $T_0 = 5,69$ ,  $\theta_g = 106 \text{ mm}^3$  e  $\mu_g = 27,251$  e para o segundo tumor  $T_0 = 4,36$ ,  $\theta_g = 106 \text{ mm}^3$  e  $\mu_g = 19,439$ . Obs: A modelagem 2 não foi exibida no gráfico por estar bem próxima da modelagem 3.

Nota-se que nas modelagens 1, 2 e 3, foi possível ajustar a curva de solução mais próximas aos dados reais na descrição do volume tumoral pela infecção do HPV 16.

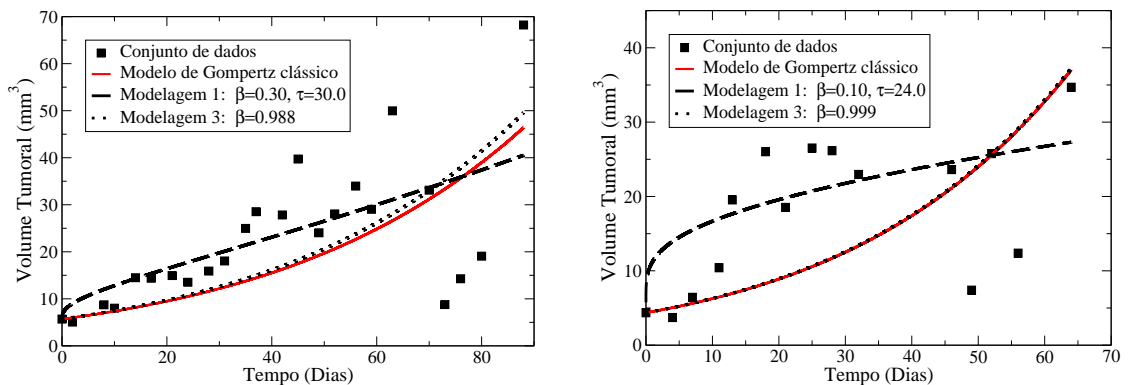


Figura 2: Curvas de crescimento tumoral.

### 3 Conclusões

Neste trabalho foram utilizados três casos de modelagem fracionária, que surgiram a partir da generalização da modelagem fracionária quando inserimos o parâmetro  $\tau$  de correção dimensional. Nota-se que é possível descrever diversas solução e buscar a que mais se aproxima ao dados reais. A primeira modelagem foi a mais adequada no ajuste aos dados reais, já que sua raiz do erro quadrático médio (RMSE) é igual a  $RMSE = 11,2085$ , a modelagem 2 e 3 possuíram aproximadamente  $RMSE = 12,5655$ . Já no modelo usual  $RMSE = 12,6236$ . Portanto, em todas as modelagens aqui descritas, foi possível ajustar a curva de solução mais próximas aos dados reais na descrição do volume tumoral pela infecção do HPV 16.

### Agradecimentos

O presente trabalho foi realizado com apoio da Coordenação de Aperfeiçoamento de Pessoal de Nível Superior - Brasil (CAPES) - Código de Financiamento 001, Processo: 33004064083P2. Agradecemos também o grupo de pesquisa CF@FC e ao Instituto Federal, Campus São Roque.

### Referências

- [1] Camargo, R. F. and Oliveira, E. C. *Cálculo fracionário*. Editora Livraria da Física, São Paulo, 2015.
- [2] Diethelm, K. *The analysis of fractional differential equations: An application-oriented exposition using differential operators of Caputo type*. Springer, Berlin, 2010.
- [3] Diethelm, K. and Ford, N. J. and Freed, A. D. and Luchko, Y. Algorithms for the fractional calculus: A selection of numerical methods, *Computer Methods in Applied Mechanics and Engineering*, v.194, p.743–773, 2005.
- [4] El-Sayed, A. M. A. and El-Mesiry, A. E. M. and El-Saka, H. A. A. One the fractional-order logistic equation, *Applied Mathematics Letters*, v.20, p.817–823, 2007.

- [5] Gómez-Aguilar, J. F. and Rosales-García, J. J. and Bernal-Alvarado, J. J. and Córdova-Fraga, T. and Guzman-Cabrera. Fractional mechanical oscillators, *Revista Mexicana de Física*, v.58, n.9, p.348–352, 2012.
- [6] Gómez-Aguilar, J. F. and Yopez-Martínez, H. and Ramón, C. C. and Orduna, I. C. and Jiménez, R. F. E. and Peregrino, R. F. E. Modeling of a mass-springdamper system by fractional derivatives with and without a singular kernel, *Entropy*, v.17, n.9, p.6289–6303, 2015.
- [7] Kuroda, L. K. B. Nova modelagem fracionária aplicada à dinâmica tumoral (HPV 16), Tese de doutorado, UNESP - Botucatu, 2020.
- [8] Kuroda, L. K. B. and Bruno-Alfonso, A. and Mancera, P. F. A. and Camargo, R. F. Análise do método multi-passos com transformada diferencial generalizada na modelagem fracionária, *TEMA - Trends in Applied and Computational Mathematics*, v.20, n.1, p.133–147, 2019.
- [9] Kuroda, L. K. B. and Gomes, A. V. and Tavoni, R. and Macera, P. F. A. and Varalta, N. and Camargo, R. F. Unexpected behavior of Caputo fractional derivative, *Computational and Applied Mathematics*, v.36, n.3, p.1173–1183, 2017, doi:10.1007/s40314-015-0301-9.
- [10] Loizides, C. and Iacovides D. and Hadjiandreou, M. M. and Rizki, G. and Achilleos, A. and Strati, K. and Mitsis, G. D. Model-based tumor growth dynamics and therapy response in a mouse model of De Novo carcinogenesis, *PloS One*, v.10, n.12, p.81–95, 2015.
- [11] Mainard, F. Fractional relaxation-oscillation and fractional diffusion-wave phenomena, *Chaos, Solitons and Fractals*, v.7, n.9, p.1461–1477, 1996.
- [12] Ortigueira, M. and Bergochea, G. A. A new look at the fractionalization of the logistic equation, *Physica A*, v.467, p.554–561, 2017.
- [13] Rodrigues, F. G. and Oliveira, E. C. Introdução às técnicas do cálculo fracionário para estudar modelos da física matemática, *Revista Brasileira de Ensino de Física*, v.37, n.3, p.1–12, 2015.
- [14] Scherer, R. and Kalia, S. L. and Tang, Y. and Huang, J. The Grünwald-Letnikov method for fractional differential equations, *Computers and Mathematics with Applications*, v.62, p.902–917, 2011.
- [15] Sólis-Péres, J. E. and Gómez-Aguilar, J. F. and Escobar-Jiménez, R. F. and Olivares-Peregrino, V. H. Parameter estimation of fractional gompertz model using Cuckoo search algorithm. Fractional derivatives with Mittag-Leffler kernel, *Fractional Derivatives with Mittag-Leffler Kernel*, v.194, p.81–95, 2019.
- [16] Seti, B. D. and Betencourt, M. F. B. and Oro, N. T. and Krioka, R. M. L. and Muhl, V. J. L. Estudo da dinâmica populacional usando os modelos de Malthus e Verhulst: Uma aplicação à população de Passo Fundo, *Revista Teoria E Evidência Econômica*, v.7, n.12, p.137–143, 1999.
- [17] Tavoni, R. Modelos fracionários de terapia gênica para o tratamento do câncer, Tese de doutorado, UNESP - Botucatu, 2019.
- [18] Veerasha, P. and Prakasha, D. G. and Baskonus, H. M. New numerical surfaces to the mathematical model of cancer chemotherapy effect in Caputo fractional derivatives, *Chaos: An Interdisciplinary Journal of Nonlinear Science*, v.29, n.1, p.1–15, 2019.
- [19] West, B. J. Exact solution to fractional logistic equation, *Physica A*, v.429, p.103–108, 2015.